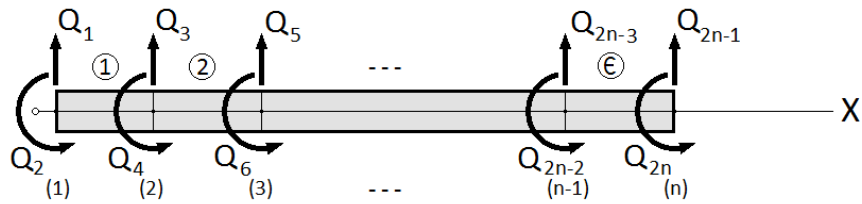


1 MODELADO DE LA VIGA Y LOS GRADOS DE LIBERTAD



2 MATRICES DE RIGIDEZ LOCALES

$$k_{sr}^e = \left(\frac{E I}{l_e^3} \right) \begin{bmatrix} 12 & 6l_e & -12 & 6l_e \\ 6l_e & 4l_e^2 & -6l_e & 2l_e^2 \\ -12 & -6l_e & 12 & -6l_e \\ 6l_e & 2l_e^2 & -6l_e & 4l_e^2 \end{bmatrix}$$

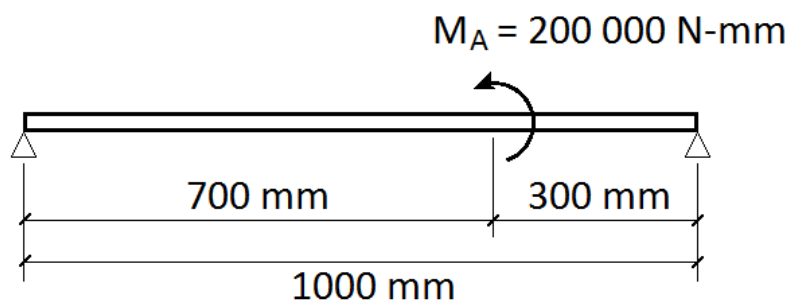
3 LOS ESFUERZOS

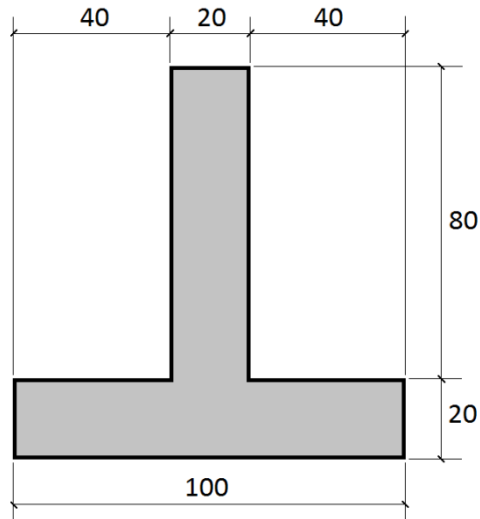
$$\sigma_x^e = - \left(\frac{E y}{l_e^2} \right) [6\xi q_1 + (3\xi - 1)l_e q_2 - 6\xi q_3 + (3\xi + 1)l_e q_4]$$

$$\tau_{m\acute{a}x}^e = \alpha_s \left(\frac{6 E I}{A l_e^3} \right) [2q_1 + l_e q_2 - 2q_3 + l_e q_4]$$

4 TEMA DE LA PRÁCTICA

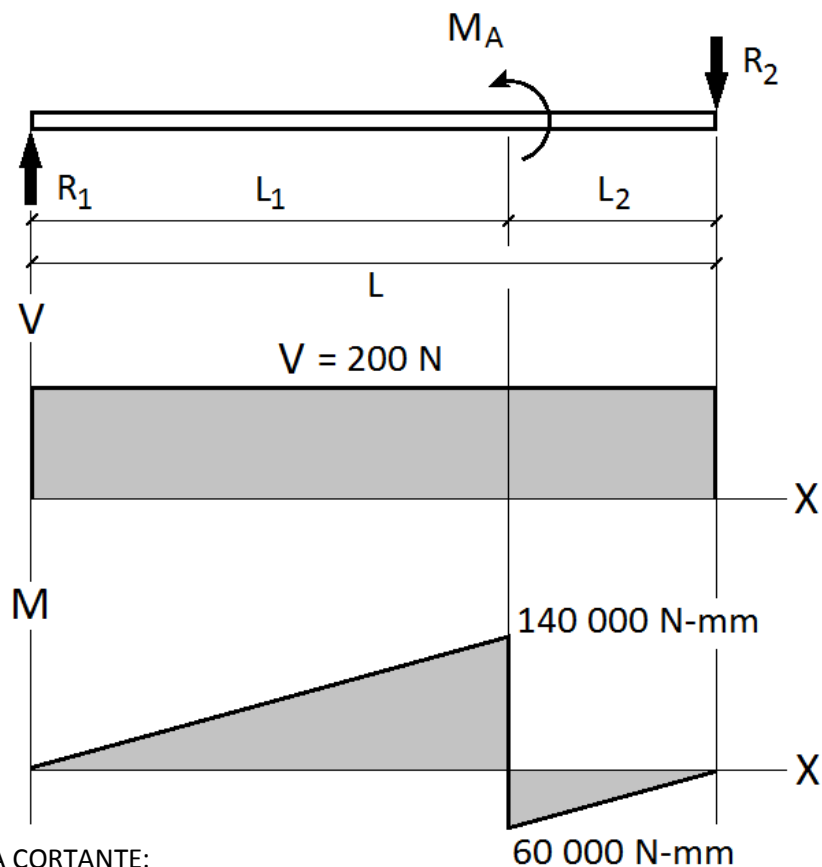
La viga mostrada en la figura tiene dos apoyos simples, y está sometida a un momento externo concentrado; tal como se indica.



**SOLUCIÓN (ANALITICA)****a) DIAGRAMA DE CARGAS EXTERNAS (CUERPO LIBRE)**

Las reacciones en los apoyos; mediante el equilibrio de fuerzas verticales y de momentos en el plano del papel:

$$R_1 = -R_2 = \frac{M_A}{L} = 200 \text{ N}$$

b) DIAGRAMA DE LA CORTANTE Y DEL MOMENTO FLECTOR

EL DIAGRAMA DE LA CORTANTE:

En todo (x):

$$V = +R_1 = 200 \text{ N}$$

En $x \rightarrow (0, 700)$:

$$M_1 = R_1 x = 200 x \text{ N} - \text{mm}$$

En $x \rightarrow (700, 1000)$:

$$M_2 = R_1 x - M_A = 200 x - 200\,000 \text{ N} - \text{mm}$$

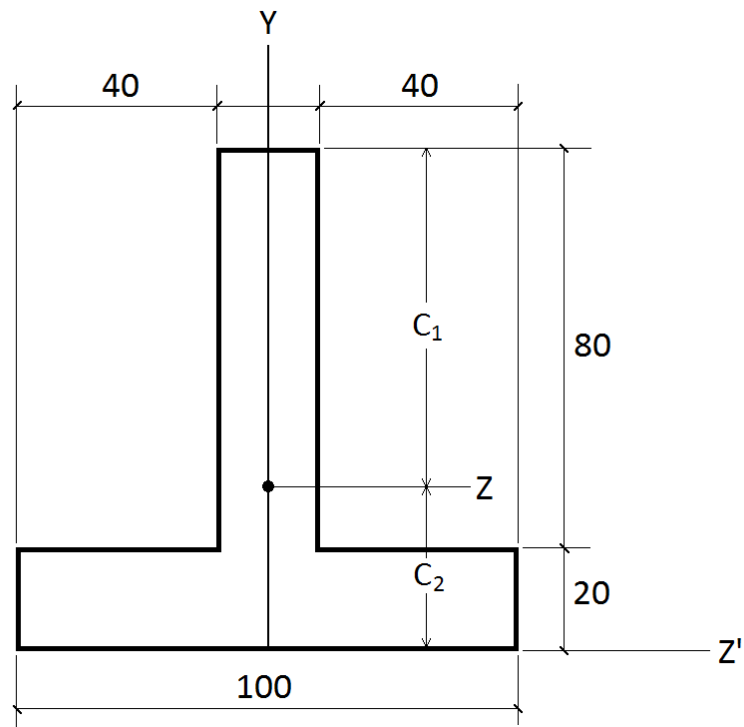
c) SECCIÓN DE LA VIGA (PROPIEDADES)

EL CENTROIDE (ubicación):

El momento de primer orden de la sección respecto al eje (Z'), es el siguiente:

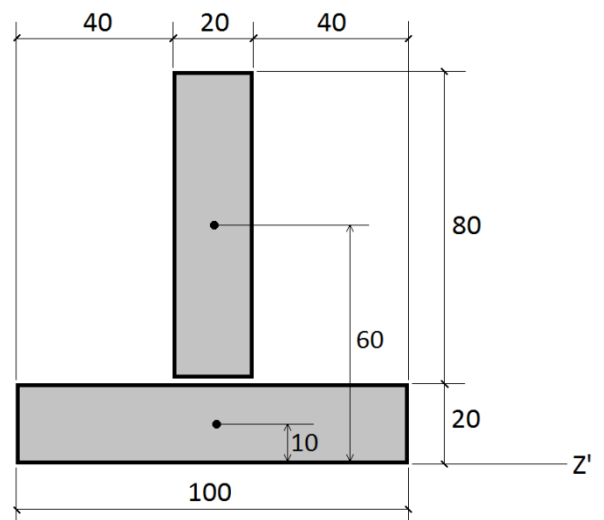
$$C_2 = \frac{\int_0^A y' dA}{A}$$

En la figura siguiente se puede apreciar la ubicación del centroide del área de la sección de la viga.



Reemplazando:

$$C_2 = \frac{(2 \cdot 8 \cdot 6) + (2 \cdot 10 \cdot 1)}{(2 \cdot 8) + (2 \cdot 10)} \frac{10^3}{10^2} = 32,2 \text{ mm}$$



EL MOMENTO DE INERCIA (Respecto al eje Z):

El momento de segundo orden de un rectángulo con respecto a uno de sus bordes:

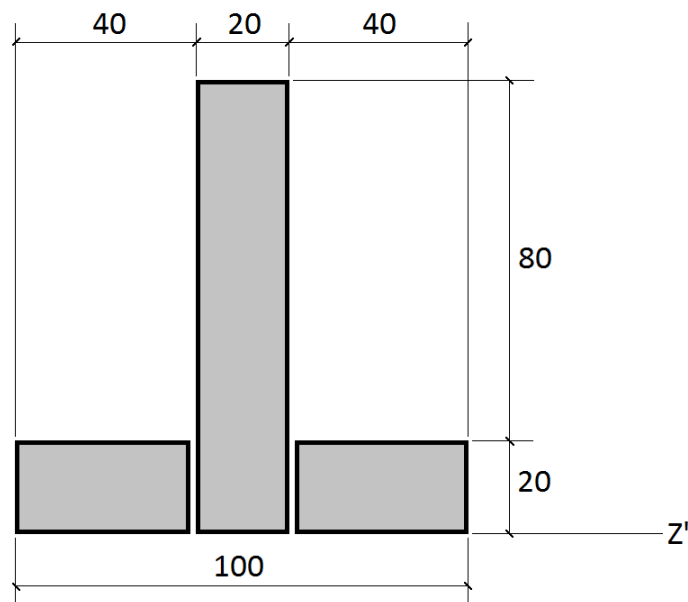
$$I' = \int_0^A y^2 dA = b \int_0^c y'^2 dy' = \frac{1}{3} b [y'^3]_0^c$$

$$I' = \frac{1}{3} b c^3$$

El momento de segundo orden de los rectángulos que forman el área de la sección de la viga, con respecto al borde común en (Z'):

$$I' = \frac{1}{3} [2(4 * 2^3) + (2 * 10^3)] 10^4 = 688 * 10^4 \text{ mm}^4$$

En la figura siguiente se puede apreciar la descomposición del área de la sección de la viga, en rectángulos simples:



El momento de segundo orden respecto al centroide (teorema de Steiner):

$$I = I' - A C_2^2$$

Reemplazando valores en los tres rectángulos:

$$I = [688 - (80 * 2 + 2 * 10)(3,22)^2] 10^4$$

Resultando el momento de inercia respecto a eje (Z):

$$I = 315 * 10^4 \text{ mm}^4$$

d) LOS ESFUERZOS EN LA SECCIÓN DE LA VIGA

El esfuerzo normal a la sección de la viga:

$$\sigma_x = \frac{M y}{I}$$

La fibra más alejada del centroide:

$$C_1 = 100 - C_2 = 67,8 \text{ mm}$$

El esfuerzo normal máximo:

$$\sigma_x \text{ máx} = \frac{M C_1}{I} = \frac{140\,000 * 67,8}{315 * 10^4} = -3,0130 \text{ MPa}$$

El esfuerzo cortante o tangencial a la sección de la viga:

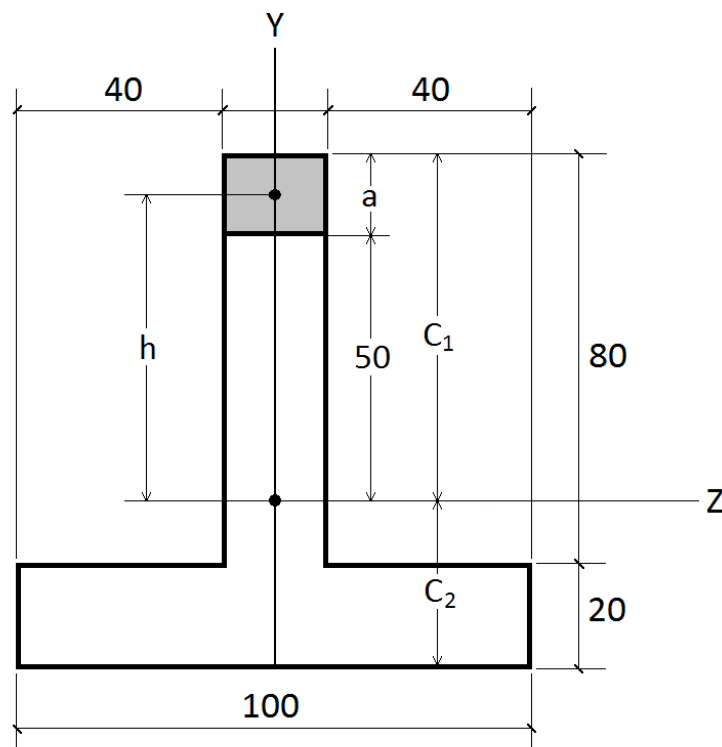
$$\tau_V = \frac{V}{I b} \int_0^{A'} y' dA'$$

En la figura siguiente hallaremos el esfuerzo cortante para ($y = 50 \text{ mm}$) a título de ejemplo:

En donde:

$$a = 17,8 \text{ mm}$$

$$h = 58,9 \text{ mm}$$



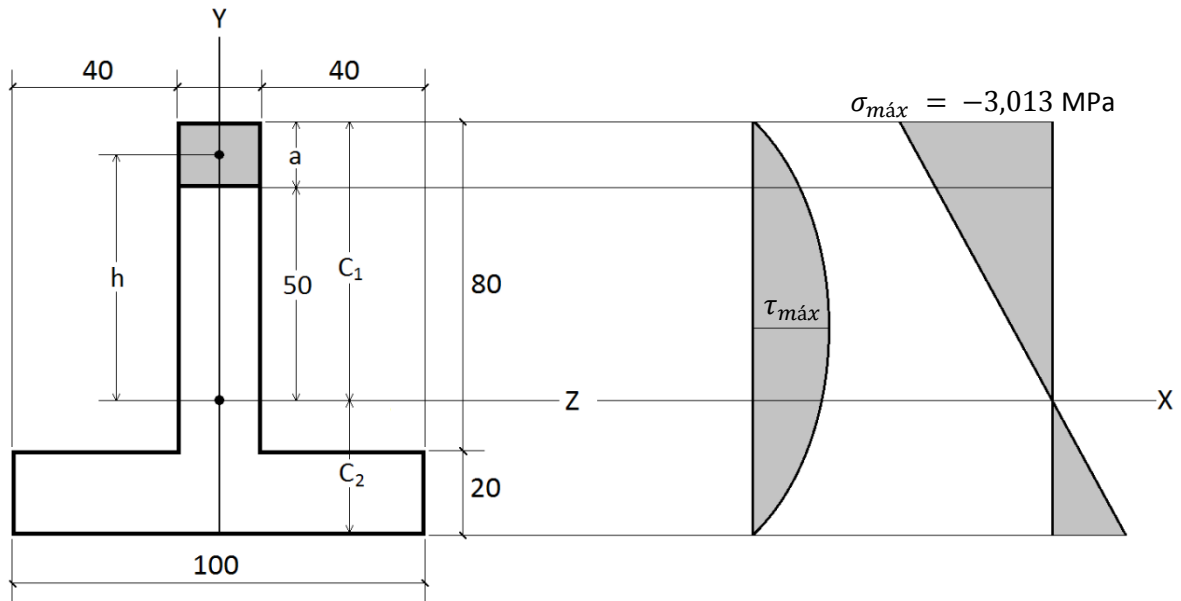
La integral de la ecuación de la cortante, es el momento de primer orden del área sombreada:

$$\int_0^{A'} y' dA = (17,8 * 20) 58,9 = 2,097 \text{ mm}^3$$

Reemplazando en la ecuación del esfuerzo cortante; para $y = 50 \text{ mm}$:

$$\tau_V = \frac{200 \text{ N}}{315 * 10^4 (\text{mm}^4) * 20 \text{ mm}} 2,097 * 10^3 (\text{mm}^3)$$

$$\tau_V = 6,657 * 10^{-2} \text{ MPa}$$



e) LA DEFORMADA DE LA VIGA

En la zona $(0 \rightarrow x \rightarrow L_1)$:

$$v_1 = \frac{M_A}{6EI} x^3 + \left(\frac{M_A L}{3EI} - \frac{M_A L_1}{EI} + \frac{M_A L_1^2}{2EI} \right) x$$

En la zona $(L_1 \rightarrow x \rightarrow L)$:

$$v_2 = \frac{M_A}{6EI} x^3 - \frac{M_A}{2EI} x^2 + \left(\frac{M_A L}{2EI} + \frac{M_A L_1^2}{2EI} \right) x - \frac{M_A L_1^2}{2EI}$$

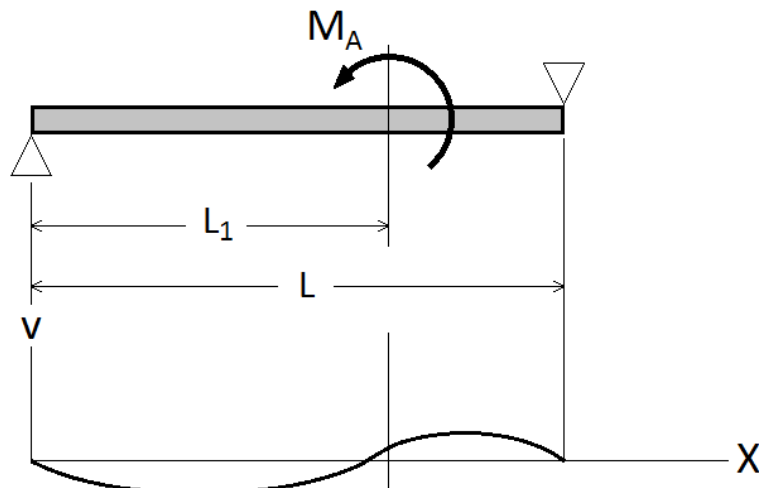
f) LA PENDIENTE

En $(x = 0)$:

$$v' = \frac{M_A L}{3EI} - \frac{M_A L_1}{EI} + \frac{M_A L_1^2}{2EI}$$

En $(x = L_1)$:

$$v' = \frac{M_A L}{3EI} + \frac{M_A L_1^2}{2EI}$$



SOLUCIÓN NUMÉRICA

Utilizando el CÁLCULO POR ELEMENTOS FINITOS, y eligiendo el número de elementos finitos para el modelo de la viga mostrada.

HALLAR:

- Las fuerzas de reacción en los apoyos.
- Los gráficos del momento flector y de la fuerza cortante.
- Los esfuerzos máximos en cada elemento finito (σ_x).
- Las pendientes de la deformada en ($x = 0$) y en ($x = L_1$).
- La deformada de la viga.

MATERIAL DE LA VIGA:

$$E = 3,0 * 10^5 \frac{N}{mm^2}$$

DIMENSIONES Y CARGAS APLICADAS:

Ver en el croquis de la página 1

NOTA: Comparar los resultados numéricos con los resultados analíticos.